

1 概説

構造物の動的解析は多質点系にその構造物を置換して実行されることが多い。そしてその構造物が土中に埋まっている場合には、その土の影響を理想化した土の方により、丁方わち動的長値と付加質量という方法で取り扱っている。さらに、地震時の構造物の応答を求めるときには地震力の入射方向の問題となる。基礎が浅く剛でなければ、その基礎に一樣に地震動を代入してもよいと考えられるが、基礎が比較的深く丁方わちやすいものでなければ、その深さ方向の地震動の違いを考慮しなくてはならない。このことを考えて、例えば図-1(a)に示す杭基礎を図-1(b)のようにモデル化して考えてみた⁽¹⁾。丁方わち、杭につく土の付加質量を三つの質点に分配し(M₁~M₃)、その点に杭と地盤との相対変位に比例する反力が作用するようににぎつけた。ここでZ₀~Z₃は各点の地震動の変位を表わしている。

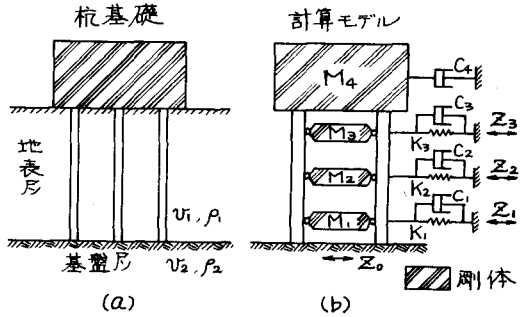


図-1

本文では、この計算モデルについての動的解析法を述べ、実際に図-1(a)のような杭基礎を伴って大振幅振動台⁽²⁾によって実験し、その結果を動的解析によって追跡した結果を紹介する。

2 動的解析法

先づ地表内の地震波の伝播を調べてみると、理論的にはせん断波の反射・屈折理論によって求められることが知られている。基盤面から地表面に垂直に波が入射するとしてその波をψ(x)、地表面の厚さをd、x点の下面からの距離をdi、地表面、基盤面のせん断波の伝播速度、密度をそれぞれv1, ρ1, v2, ρ2とすると、x点の伝播地震波ψ(x)は次のように表わされる⁽¹⁾。

$$\psi(x) = \frac{2}{1+\alpha} \sum_{k=0}^{\infty} \left(\frac{1-\alpha^k}{1+\alpha^k} \right) \left[\psi \left\{ t - \frac{x}{v_1} (2kRd + d_i) \right\} + \psi \left\{ t - \frac{x}{v_1} (2kRd + 2d - d_i) \right\} \right] \quad (1)$$

ここでα=ρ1v1/ρ2v2である。いま、ψ(x)を加速度波でなければψ(x)も加速度波として求め、この値が丁方わち図-1(b)のZ₀~Z₃に相当している。

いま、ある時刻tにおいて各点の地震動の変位がZ₀~Z₃であり、各質点の杭下端に対する相対変位がx₁~x₄とすれば、D'Alembertの原理を用いて、flexibility coefficient, f_{ij}により次の関係式が得られる。

$$\begin{pmatrix} f_{11} & f_{12} & f_{13} & f_{14} \\ f_{21} & f_{22} & f_{23} & f_{24} \\ f_{31} & f_{32} & f_{33} & f_{34} \\ f_{41} & f_{42} & f_{43} & f_{44} \end{pmatrix} x \begin{pmatrix} -M_1(\ddot{x}_1 + \ddot{z}_0) - C_1(\dot{x}_1 + \dot{z}_0 - \dot{z}_1) - K_1(x_1 + z_0 - z_1) \\ -M_2(\ddot{x}_2 + \ddot{z}_0) - C_2(\dot{x}_2 + \dot{z}_0 - \dot{z}_2) - K_2(x_2 + z_0 - z_2) \\ -M_3(\ddot{x}_3 + \ddot{z}_0) - C_3(\dot{x}_3 + \dot{z}_0 - \dot{z}_3) - K_3(x_3 + z_0 - z_3) \\ -M_4(\ddot{x}_4 + \ddot{z}_0) - C_4(\dot{x}_4 + \dot{z}_0) \end{pmatrix} = \begin{pmatrix} x_1 \\ x_2 \\ x_3 \\ x_4 \end{pmatrix}$$

ここに $\dot{i} = [1.1, 1.1, 1]$, $K = 0$, $Z_0 = 0$ といて簡単に表わせば,

$$F - M(\ddot{x} + \dot{z}_0 \dot{i}) - C(\dot{x} + \dot{z}_0 \dot{i} - \dot{z}) - K(x + z_0 i - z) = X \quad \text{--- (2)}$$

となり, いくらかの変形をすせば次のようになる。

$$\ddot{y} = -M^{-1}(F + K)y - M\dot{C}\dot{y} - g(t) \quad \text{--- (3)}$$

$$\text{ここで } y = x + z_0 i - z \quad \text{--- (4)}$$

$$g(t) = M^{-1}F^{-1}(z - z_0 i) + \dot{z} \quad \text{--- (5)}$$

結局 (3)式を $g(t)$ という強制力下でベクトル y について解き, (4)式によって変位ベクトル x に変換してやれば応答が算出できる。(3)

3. 大型振動台による実験⁽²⁾

実際に実験した基礎は9本のφ100mmのアルミニウムパイプ(肉厚1.5mm)を3行3列に42cm間隔で並べられた群杭基礎である。そして杭下端は基礎層に相当する振動台に固定され, 上端は4.5tのコンクリートブロック下面に固定されている。地表層としてはシンダーサンドと油を8:2の重量比で混合したもので, その性質は単位体積重量が1.2t/m³, 三軸せん断試験でC=0.04kg/cm², φ=23°である。図-2に

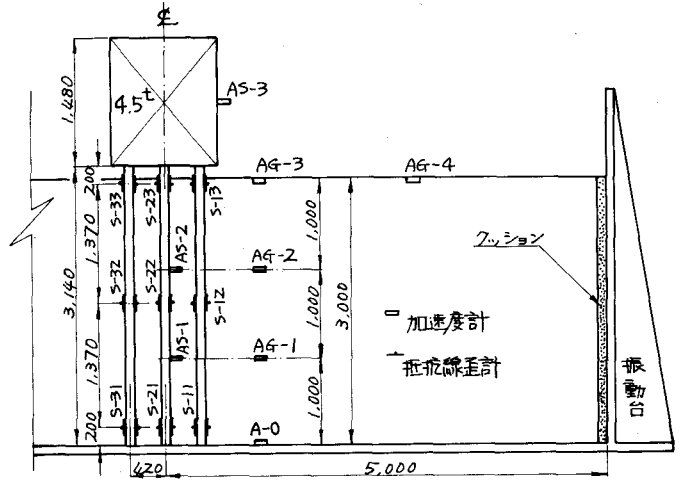


図-2

基礎構造の概略と計器の配置を示した。

先づ振動実験の前にコンクリートブロックを水平にジャッキで押しつけて静的にブロックの変位, 杭内の曲げ応力を測定した。この結果が図-3, 4である。

振動実験は

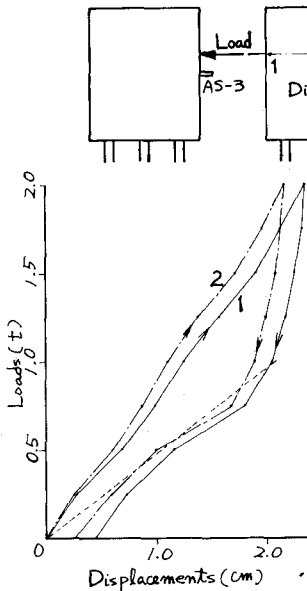


図-3

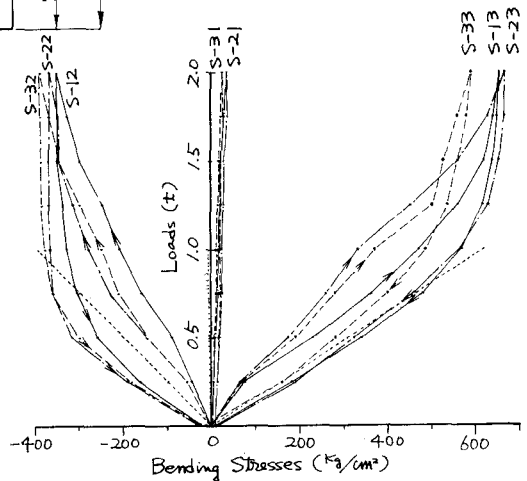


図-4

振動台の振動数を変化させて、地盤内トビ基礎構造の加速度分布と杭の曲げ応力分布を測定した。測定結果は振動数による特性をみるために振動台の加速度(A-0)が $100g^{ad}$ となるように整理した。その結果が図-5.6である。

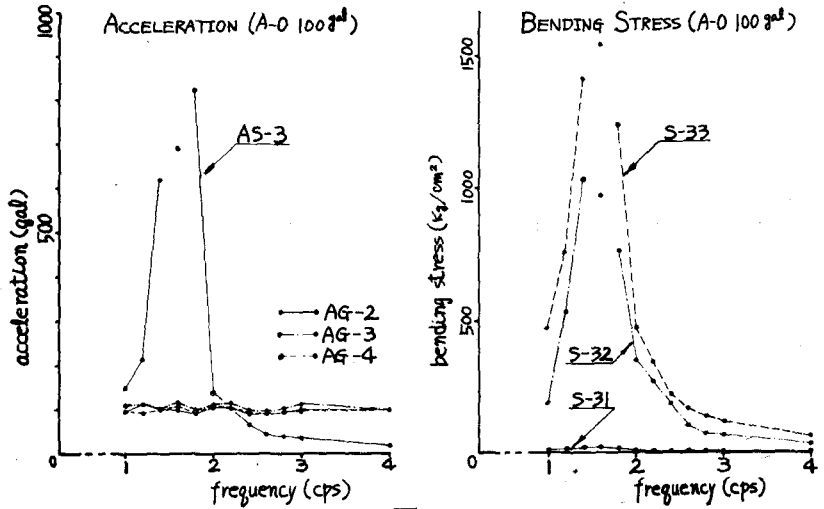


図-5

この結果から、(1)この基礎は約 1.65° で共振している。(2) 6° 以下では地盤加速度はほぼ一緒であるが 10° に近づくにつれて地表近くは加速度は増大して 10° で約2倍になっている。これは地盤が共振に近づいたもので 14° ~ 15° に共振点があるものと推定される。

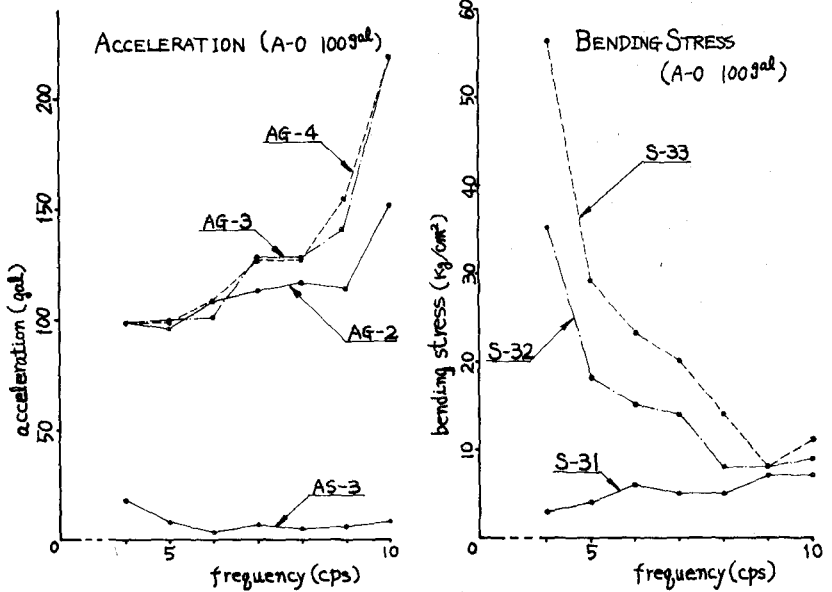


図-6

(3)曲げ応力については、杭基礎の共振時にはその分布が前記の実験結果と類似しているが、 10° に近づくにつれて一様な分布になる。(4)位相はS-31, S-33とS-32とで逆であった。これは 10° 近くでは両端固定の杭を水平に押し込んだときの曲げ応力分布に類似している。これは土が杭を押し込んでいると考えられる。

4. 動的解析による実験結果の検討

オ1に地盤内水平バネ定数とその深さ方向の分布を調べる。この杭基礎構造を先進の方法でモデル化し、図-3.4の結果が得られるようにバネ定数的大小をtrialで決定した。その結果が図-7であり、また図-3.4にその点を点線で示した。

オ2に地盤内の加速度分布である。図-8は 7° における測定値とせん断波の伝播理論による解を比

較いたものである。これは多少は全く定性的に異なるものとなり、これはより地盤が簡単に反射・屈折で説明できないものでないかと考えらる。ここで実験結果から地表付近の加速度分布を定常振動で表す式で表わさるとした。

$$a_L = a_0 \left\{ 1 + \frac{\omega^2}{\beta^2 - \omega^2} \left(\frac{d_L}{d} \right)^2 \right\} \quad \text{--- (6)}$$

ここで a_L は L 点の加速度振幅、 a_0 は L 点を自由振動数、強制振動数である。この(6)式による $\beta^2 = 7895 (14.1^2)$ としたときの結果が図-8の破線である。

これは土の付加質量である。群杭間(84×84cm)に含まれる土の質量に対する付加質量の比を β で表わして、種々の β の値について各振動数における応答を求めてみた結果が図-9である。この図によれば、1~4 cps では β の影響ははっきりしないが、6~10 cps でははっきりと出てくる。これは例えば、 $\beta = 100\%$ の場合は二次振動が 11 cps の固有値をもつために応答の中に大きくこの二次振動が含まれてきており、測定結果ではこの現象をみることはできない。つまり、 $\beta = 0 \sim 10\%$ と考えた方が測定結果をよく説明できる。

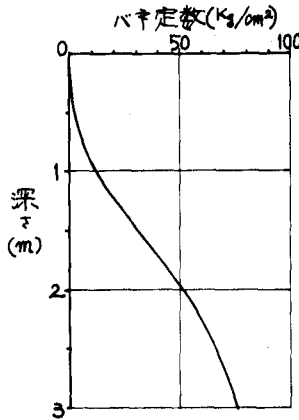


図-7

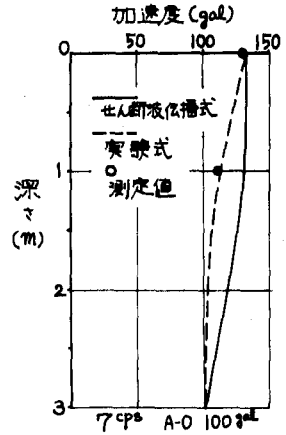


図-8

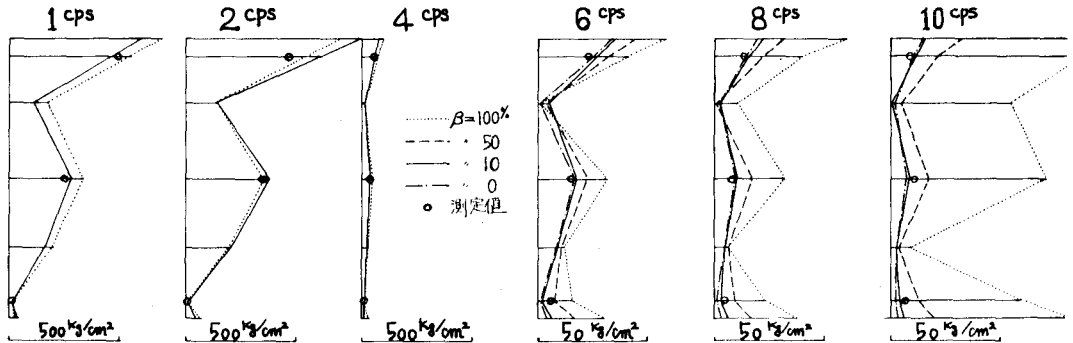


図-9

参考文献

- (1) 後藤尚男・庵田弘行：杭基礎上の橋脚の地震時応答について、土木学会論文集、オ131号 昭41.7
- (2) 又保彦三郎・佐藤暢彦：杭基礎をもつ構造物の耐震性 生産研究 オ20巻 オ4号 昭43.4
- (3) 又保彦三郎・佐藤暢彦：連続構造物の応答計算への試案 オ22回土木学会年次学術講演会要旨 I-149